

동기정류기의 역률개선 및 효율향상에 관한 연구

황창환, 권봉환*

포항공과대학교 철강대학원, 포항공과대학교 전자전기공학과*

A study on power factor correction and enhancement of the synchronous rectifier

Chang-Hwan Hwang, Bong-Hwan Kwon*

Department of GSIST, Department of Electronic & Electrical Engineering*

Pohang University of Science and Technology

I. 서론

본 논문에서는 Half bridge 회로를 기반으로 고역률을 실현하는 직렬공진 APWM AC/DC 변환기(APWM, Asymmetrical pulse-width modulated AC to DC converter)를 제안한다. 본 변환기는 PFC stage(Power factor correction) 와 DC 링크 전압을 고주파 단방향 AC 전압으로 변환시키는 Inverter stage의 조합으로 구성되어 있고, 이 고주파 전압은 스위칭 제어에 의해 공진회로를 거쳐 고주파 변압기에 인가 된다. 또한, 출력단에는 정류손실을 줄이기 위해 다이오드의 전압강하를 저항형태의 전압강하로 대체시켜 주는 동기정류기를 적용하였다. 이것은 낮은 도통저항을 갖는 MOSFET를 동기정류기로 사용하므로써 효율을 높이는 하나의 방법이다. 본 논문에서는 출력전압 13V, 용량 70W, 스위칭주파수 100kHz의 전력변환기에 대한 해석과 실험을 통해 제안한 변환기의 성능을 입증하였다.

II. 제안회로 해석

2.1 제안한 변환기의 구조

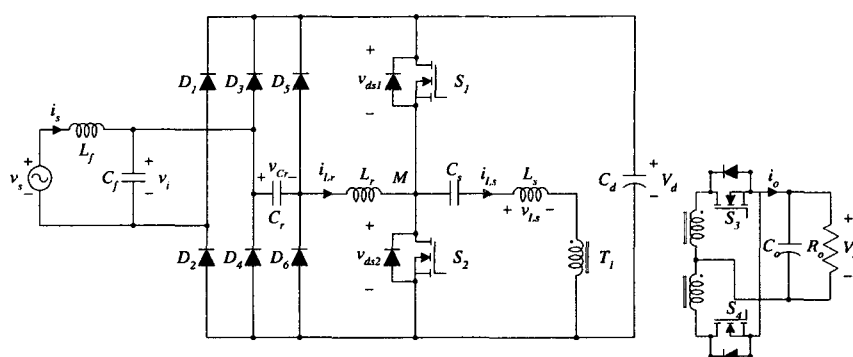


그림1. 제안한 AC/DC 변환기의 회로도

2.2 PFC 해석

스위치 S_1, S_2 는 상보적으로 동작한다. 간략한 해석을 위해 다음 사항을 가정한다. 첫째, 모든 소자는 이상적이다. 둘째, 커퍼시터 C_d 값이 충분히 커서 DC 링크 전압 V_d 의 리플 성분은 무시할 수 있다. 셋째, DC 링크 전압 V_d 가 입력전압 v_i 의 피크값 V_m 보다 크게 설계되었고, 고주파 스위칭이므로 공급전압 v_i 는 스위칭 주기 동안 일정하다고 볼 수 있다.

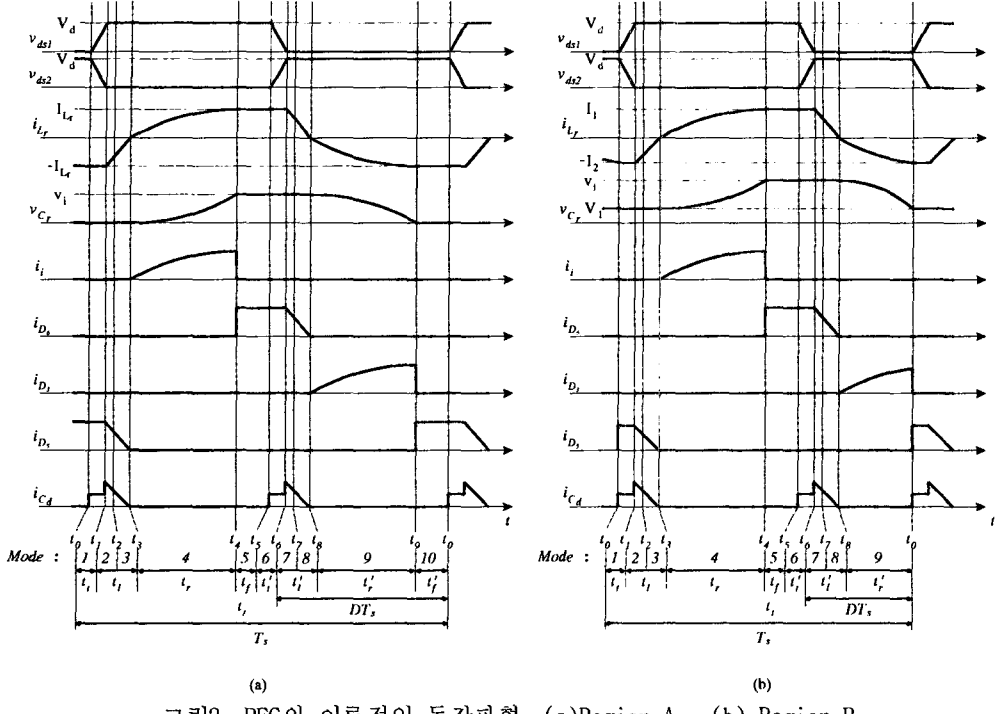


그림2. PFC의 이론적인 동작파형 (a)Region-A (b) Region-B

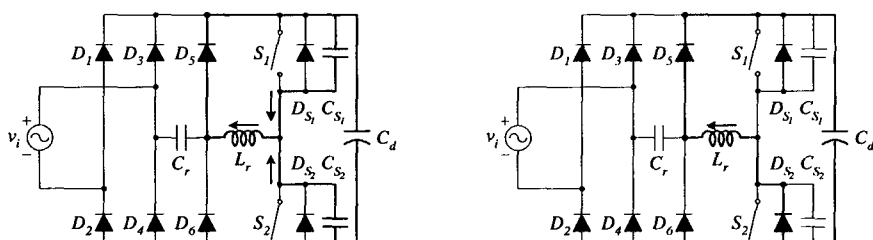
2.2.1 Region-A 동작

Mode1 동작에 앞서, 인덕터 전류 i_{Lr} 은 D_5, S_1, L_r 을 통해 $-I_{Lr}$ 값으로 프리 훨링 하고 있고, 커패시터 전압 v_{Cr} 은 0인 상태이다.

Mode1 (t_0, t_1), t_0 상태에서 스위치 S_1 은 off 되고, 인덕터 전류 i_{Lr} 에 의해 C_{S1} 충전이 시작되고 C_{S2} 는 방전하기 시작한다. 스위치 S_1 에 걸리는 전압은 증가하고, 스위치 S_2 에 걸리는 전압은 감소 한다.

$$t_i = \frac{2C_S V_d}{I_{Lr}} , \quad i_{Lr}(t) = -I_{Lr} \quad (1)$$

스위치 S_1, S_2 에 병렬연결된 스위치 커패시터 C_{S1}, C_{S2} ($C_{S1} = C_{S2} = C_s$)의 값이 매우 적고 과도시간 t_i 또한 매우 짧은 기간이므로 인덕터 전류는 거의 일정하다.



Mode 1

Mode 2

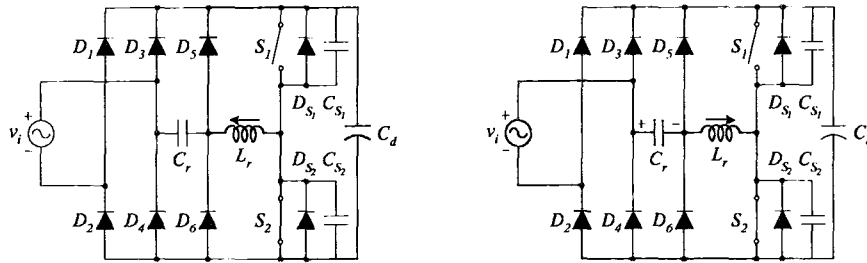
Mode2 (t_1, t_2), t_1 시점에서 스위치 S_2 에 걸리는 전압 v_{ds2} 가 0이 되고 스위치에 병렬연결된 다이오드 D_{S2} 가 도통하기 시작한다. 프리훨링하고 있는 전류 i_{Lr} 이 커패시터 C_d 를 통해서 흐르고 있으므로 L_r 에 저장된 에너지는 C_d 로 전달된다. 인덕터 L_r 양단에 걸리는

전압은 DC 링크 전압 V_d 로 고정되어 있으므로 i_{Lr} 은 다음과 같이 선형적으로 증가한다.

$$i_{Lr} = -I_{Lr} + \frac{V_d}{L_r}(t - t_1) \quad (2)$$

Mode3 (t_2, t_3), t_2 시점에서 스위치 S_2 가 켜진다. 스위치 S_2 가 켜지기 이전에 병렬연결된 다이오드 D_{S2} 를 통해 전류가 흐르고 있었으므로 S_2 는 영전압 스위칭이 이루어 진다. 인덕터 전류 i_{Lr} 은 Mode2에서 선형적으로 증가하기 시작해서 Mode3 종단부에서는 0 까지 도달하게 된다.

$$t_r = \frac{L_r}{V_d} I_{Lr} \quad (3)$$



Mode 3

Mode 4

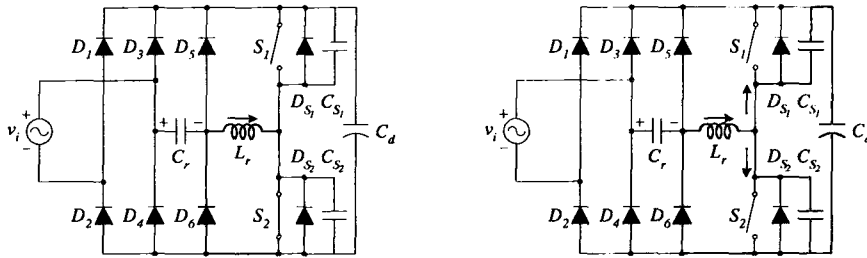
Mode4 (t_3, t_4), 인덕터 전류 i_{Lr} 의 방향이 바뀌는 시점에서 다이오드 D_5 는 꺼지고, D_2 는 켜진다. 그렇게 되면 입력단으로 부터 전류가 공급되고 공진 커패시터 C_r 는 충전하기 시작 한다. 공진회로(L_r, C_r)의 공진에 의해 커패시터 전압 v_{Cr} 은 증가한다. 입력전압으로 부터 다음과 같이 공진회로에 에너지가 공급된다.

$$v_{Cr}(t) = v_i [1 - \cos \omega_0(t - t_3)], \quad i_{Lr}(t) = \frac{v_i}{Z_0} \sin \omega_0(t - t_3) \quad (4)$$

Mode4의 종점에서 커패시터 전압 v_{Cr} 은 v_i 과 동일한 전압이 되고, 인덕터 전류 i_{Lr} 은 최대값인 I_{Lr} 에 도달하게 된다.

$$t_r = \frac{\pi}{2\omega_0}, \quad I_{Lr} = \frac{v_i}{Z_0} \quad (5)$$

Mode5 (t_4, t_5), t_4 시점에서 커패시터 전압 v_{Cr} 은 입력전압 v_i 와 동일하게 되므로 다이오드 D_6 는 꺼지고 인덕터 전류 i_{Lr} 은 L_r, S_2, D_6 을 통해서 프리휠링한다.



Mode 5

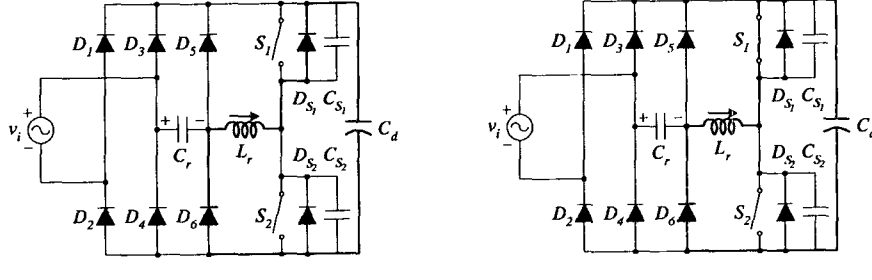
Mode 6

Mode6 (t_5, t_6), t_5 에서 스위치 S_2 가 꺼지면, 인덕터 전류 i_{Lr} 에 의해 C_{S2} 는 충전이 시작 되고 C_{S1} 은 방전하기 시작한다. 스위치 S_2 에 걸리는 전압 v_{ds2} 는 증가하고, 스위치 S_1 에 걸리는 전압 v_{ds1} 는 감소한다. 스위치의 전환시간 t_1' 은 Mode1에서의 전환시간 t_1 과 같다.

Mode7 (t_6, t_7), t_6 에서 스위치 S_1 에 걸리는 전압 v_{S1} 은 0이 되고, 다이오드 D_{S1} 이 켜진다. 인덕터 전류 i_{Lr} 이 DC 링크 커패시터를 통해 프리휠링 하고 있기 때문에 L_r 에 저장된 에

너지는 DC 링크로 전달된다. L_r 양단에 걸리는 전압은 $-V_d$ 로 고정되어 있으므로 인덕터 전류 i_{Lr} 은 선형적으로 감소한다.

$$i_{Lr}(t) = I_{Lr} - \frac{V_d}{L_r}(t - t_6) \quad (6)$$

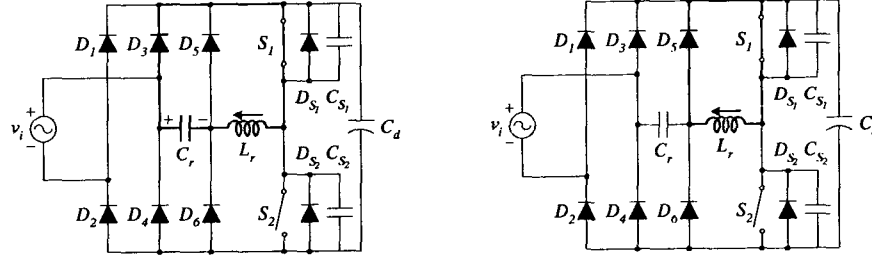


Mode 7

Mode 8

Mode8 (t_7, t_8), t_7 에서 스위치 S_1 이 켜진다. Mode3에서처럼 스위치 S_1 은 영전압 스위칭이 이루어진다. 인덕터 전류 i_{Lr} 은 선형적으로 감소하여 Mode8 종단부에서는 $i_{Lr} = 0$ 이 된다. 선형적으로 감소하는 시간 t_1' 은 Mode2,3에서 선형적으로 증가하는 시간 t_1 과 같다. Mode9 (t_8, t_9), 인덕터 전류 i_{Lr} 의 방향이 바뀌면서 다이오드 D_6 는 꺼지게 된다. 그런 다음에 커패시터 C_r 에 의해 인덕터 전류 i_{Lr} 이 흐르게 되고 다이오드 D_3 가 켜지게 된다. C_r 에 저장된 에너지는 L_r 에 전달된다. 공진시간 t_r' 은 Mode4의 공진시간 t_r 과 같다.

$$v_{Cr}(t) = v_i \cos \omega_0(t - t_8) \quad , \quad i_{Lr}(t) = -\frac{v_i}{Z_0} \sin \omega_0(t - t_8) \quad (7)$$



Mode 9

Mode 10

Mode10 (t_9, t_{10}), t_9 에서 공진 커패시터 전압 v_{Cr} 은 0에 도달한다. 그러면 다이오드 D_5 는 켜지고 인덕터 전류 i_{Lr} 은 L_r, D_5, S_1 을 통해서 프리휠링한다. 여기서 스위칭 주파수 f_s 의 한 주기가 종료된다.

스위치의 전환시간 $t_f (= t_1')$ 은 무시할 수 있을 정도의 짧은 시간이므로 프리휠링시간 t_f 와 t_f' 은 다음과 같다.

$$t_f = (1 - D)T_s - t_1 - t_r \quad , \quad t_f' = DT_s - t_1 - t_r = DT_s - \frac{v_i}{\omega_0 V_d} - \frac{\pi}{2\omega_0} \quad (8)$$

본 PFC 회로가 Region-A에서 동작할 경우에는 식(8)과 같은 프리휠링시간 t_f' 이 존재하므로 식(9)를 만족하고, Region-B의 동작 조건은 식(10)과 같이 된다.

$$DT_s \geq \frac{v_i}{\omega_0 V_d} + \frac{\pi}{2\omega_0} \quad , \quad DT_s \geq \frac{V_m}{\omega_0 V_d} + \frac{\pi}{2\omega_0} \quad (9)$$

$$DT_s < \frac{v_i}{\omega_0 V_d} + \frac{\pi}{2\omega_0} \quad , \quad DT_s < \frac{\pi}{2\omega_0} \quad (10)$$

고주파 스위칭이기 때문에 입력 전압 v_i 는 스위칭 주기 T_s 동안 거의 상수값이므로

Region-A 동작의 Mode4로 부터 입력전류 i_i 의 순시평균값은 다음과 같이 구할 수 있다.

$$i_{i,\text{avg}} = \frac{1}{T_s} \int_0^{t_r} \frac{v_i}{Z_0} \sin(\omega_0 t) dt = \frac{C_r}{T_s} v_i \quad (11)$$

선전류 i_s 는 필터 커패시터 C_f 와 인덕터 L_f 에 의해 입력전류 i_i 의 순시 평균값이 되고, 라인주파수 상에서 인덕터 L_f 의 전압강하는 무시할 수 있을 정도로 작으므로 변환기의 입력전압 v_i 는 선전압 v_s 와 같고 선전류 i_s 는 다음과 같다. 여기서, V_m 은 최대값, ω 는 각주파수이다.

$$v_s = V_m \sin(\omega t), \quad i_s = \frac{C_r}{T_s} V_m \sin(\omega t) \quad (12)$$

3.2.2 Region-B 동작

Mode1 동작에 앞서, 인덕터 전류 i_{Lr} 은 D_3, S_1, C_r, L_r 을 통해 음의 피크값 $-I_2$ 로 흐르고 있고, 커패시터 전압 v_{Cr} 은 오프셋 전압 V_1 인 상태이다.

Mode1 (t_0, t_1), t_0 상태에서 스위치 S_1 은 off 되고, 인덕터 전류 i_{Lr} 에 의해 C_{S1} 에 충전이 시작되고, C_{S2} 는 방전하기 시작한다. 전환시간 t_1 , 인덕터 전류 i_{Lr} , 커패시터 전압 v_{Cr} 은 각각 다음과 같다.

$$t_1 = \frac{2C_s V_d}{I_2}, \quad i_{Lr}(t) = -I_2, \quad v_{Cr}(t) = V_1 \quad (13)$$

Mode2 (t_1, t_2), t_1 시점에서 스위치 S_2 에 걸리는 전압 v_{ds2} 가 0이 되고 스위치에 병렬연결된 다이오드 D_{S2} 가 도통하기 시작한다. 인덕터 L_r 양단에 걸리는 전압은 DC 링크 전압 V_d 로 고정되어 있으므로 i_{Lr} 은 다음과 같이 선형적으로 증가한다.

$$i_{Lr}(t) = -I_2 + \frac{V_d}{L_r}(t - t_1), \quad v_{Cr}(t) = V_1 \quad (14)$$

Mode3 (t_2, t_3), t_2 시점에서 스위치 S_2 가 켜진다. 스위치 S_2 가 켜지기 이전에 스위치에 병렬연결된 다이오드 D_{S2} 를 통해 전류가 흐르고 있었으므로 S_2 는 영전압 스위칭이 이루어진다. 인덕터 전류 i_{Lr} 은 Mode2에서 선형적으로 증가하기 시작해서 Mode3 종단부에서는 0까지 도달하게 된다.

$$t_2 = \frac{L_r}{V_d} I_2 \quad (15)$$

Mode4 (t_3, t_4), 인덕터 전류 i_{Lr} 의 방향이 바뀌는 시점에서 다이오드 D_5 는 꺼지고, D_2 는 켜진다. 그렇게 되면 입력단으로 부터 전류가 공급되고 공진 커패시터 C_r 는 충전하기 시작한다. 공진회로(L_r, C_r)의 공진에 의해 커패시터 전압 v_{Cr} 은 증가한다. 입력전압으로 부터 다음과 같이 공진회로에 에너지가 공급된다.

$$v_{Cr}(t) = v_i + (V_1 - v_i) \cos \omega_0(t - t_3), \quad i_{Lr}(t) = \frac{v_i - V_1}{Z_0} \sin \omega_0(t - t_3) \quad (16)$$

Mode4의 종점에서 커패시터 전압 v_{Cr} 은 v_i 와 동일한 전압이 되고, 인덕터 전류 i_{Lr} 은 최대값인 I_1 에 도달하게 된다.

$$t_r = \frac{\pi}{2\omega_0}, \quad I_1 = \frac{v_i - V_1}{Z_0} \quad (17)$$

Mode5 (t_4, t_5), t_4 시점에서 커패시터 전압 v_{Cr} 은 입력전압 v_i 와 동일하게 되므로 다이오드 D_6 는 켜지고 인덕터전류 i_{Lr} 은 L_r, S_2, D_6 을 통해서 프리휠링한다.

Mode6 (t_5, t_6), t_5 에서 스위치 S_2 가 꺼지면, 인덕터 전류 i_{Lr} 에 의해 C_{S2} 는 충전이 시작되고 C_{S1} 은 방전하기 시작한다.

$$t_i' = \frac{2C_s V_d}{I_1} \quad (18)$$

Mode7 (t_6, t_7), t_6 에서 스위치 S_1 에 걸리는 전압 v_{S_1} 은 0이 되고, 다이오드 D_{S_1} 이 켜진다. L_r 양단에 걸리는 전압은 $-V_d$ 로 고정되어 있으므로 인덕터 전류 i_{Lr} 은 다음과 같이 선형적으로 감소한다.

$$i_{Lr}(t) = I_1 - \frac{V_d}{L_r}(t - t_6) \quad (19)$$

Mode8 (t_7, t_8), t_7 에서 스위치 S_1 이 켜진다. Mode3에서처럼 스위치 S_1 는 영전압 스위칭이 이루어진다. 인덕터 전류 i_{Lr} 은 선형적으로 감소, Mode8 종단부에서 $i_{Lr} = 0$ 이 된다.

$$t_i' = \frac{L_r}{V_d} I_1 \quad (20)$$

Mode9 (t_8, t_9), 인덕터 전류 i_{Lr} 의 방향이 바뀌면서 다이오드 D_6 은 꺼지게 된다. 그런 다음에 커패시터 C_r 에 의해 인덕터 전류 i_{Lr} 이 흐르게 되고 다이오드 D_3 가 켜지게 된다. 커패시터 C_r 에 저장된 에너지는 L_r 에 전달된다

$$v_{Cr}(t) = v_i \cos \omega_0(t - t_8), \quad i_{Lr}(t) = -\frac{v_i}{Z_0} \sin \omega_0(t - t_8), \quad t_i' = DT_s - t_i' \quad (21)$$

Mode9의 종단부에서

$$V_1 = v_i \cos \omega_0 t_i' = v_i \cos(\omega_0 DT_s - \frac{v_i - V_1}{V_d}), \quad I_2 = \frac{v_i}{Z_0} \sin \omega_0 t_i' \quad (22)$$

이므로 커패시터의 오프셋 전압 V_1 은 식(22)와 같이 비선형 방정식으로부터 구할 수 있고, 그림3에 듀티비 별로 오프셋 전압 V_1 의 모의 값을 나타내었다. 입력전류 i_i 의 순시 평균값은 다음과 같다.

$$i_{i,\text{avg}} = \frac{1}{T_s} \int_0^{t_i'} C_r (v_i - V_1) \omega_0 \sin(\omega_0 t) dt = \frac{C_r}{T_s} (v_i - V_1) \quad (23)$$

따라서, 선전류 i_s 는 식(24)과 같고, 그림4에 듀티비 별로 최대전류 I_m 에 대한 상대적인 크기로써 i_s 를 나타내었다.

$$i_s = \frac{C_r}{T_s} (V_m \sin(\omega t) - V_1), \quad I_m = \frac{C_r V_m}{T_s} \quad (24)$$

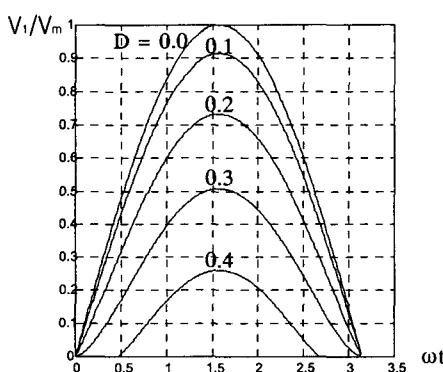


그림3. 듀티비에 따른 오프셋 전압 V_1

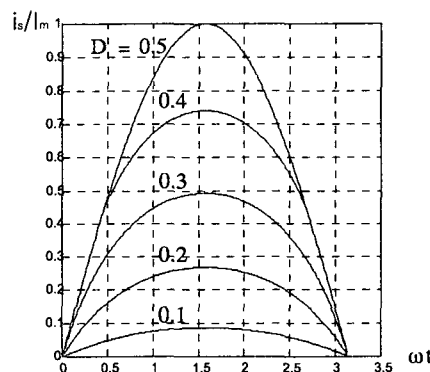


그림4. 듀티비에 따른 선전류 i_s

2.2.3 입력전력(P_i)과 역률(PF)

본 논문에 제안한 PFC가 항상 Region-A에서만 동작한다면 입력전력 P_i , 역률 PF 는

$$P_i = \frac{1}{\pi} \int_0^{\pi} v_s i_s d(\omega t) = \frac{1}{2} C_r V_m^2 f_s , \quad PF = \frac{P_i}{v_{s(rms)} i_{s(rms)}} = \frac{\frac{1}{2} C_r V_m^2 f_s}{\frac{V_m}{\sqrt{2}} \frac{C_r}{T_s} \frac{V_m}{\sqrt{2}}} = 1 \quad (25)$$

이므로 PFC Stage가 Region-A에서 동작할 경우, 역률은 1이 된다.

Region-A, Region-B 동작을 모두 고려하면 입력전력 P_i , 역률 PF 는 다음과 같다.

$$P_i = \frac{1}{\pi} \int_0^{\pi} v_s i_s d(\omega t) = P_m \frac{4}{\pi} \int_0^{\frac{\pi}{2}} (\sin^2 \omega t - \frac{V_1}{V_m} \sin \omega t) d(\omega t) , \quad P_m = \frac{V_m^2 C_r}{2 T_s} \quad (26)$$

$$PF = \frac{P_i}{v_{s(rms)} i_{s(rms)}} , \quad v_{s(rms)} = \frac{V_m}{\sqrt{2}} , \quad i_{s(rms)} = \sqrt{\frac{2}{\pi} \left[\int_0^{\frac{\pi}{2}} \left(\frac{C_r}{T_s} \right)^2 (V_m \sin(\omega t) - V_1)^2 d(\omega t) \right]} \quad (27)$$

본 논문에 제안한 Converter에 대해서 입력전력 P_i 를 듀티비의 함수로써 PLOT한 결과와 역률 PF 를 듀티비의 함수로 PLOT한 결과를 각각 그림5, 그림6에 나타내었다.

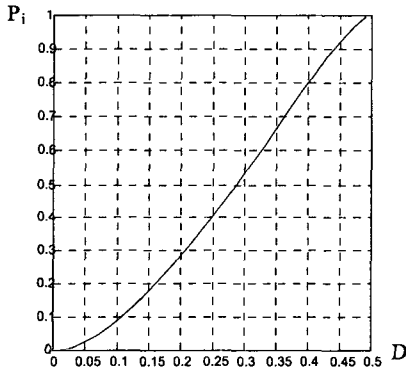


그림5. 듀티비에 따른 입력전력 P_i

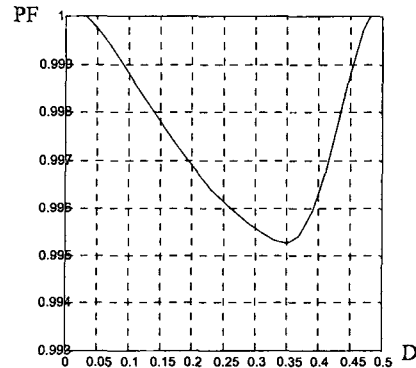


그림6. 듀티비에 따른 역률 PF

2.3 직렬공진 APWM DC/DC 변환기 해석

공진회로가 구형파 전압에 대해 지연전류 i_{L_s} (Lagging current) 가 흐르도록 조정되어 있다면, 스위치 S_1 , S_2 는 영전압 Turn-on이 이루어진다. 즉, 스위치가 Turn-on 되기 전에 스위치의 Body-diode를 통해 이 지연전류가 흐른다. 출력단에는 정류손실을 줄이기 위해 다이오드의 전압강하를 저항형태의 전압강하로 대체시켜 주는 동기정류기를 적용하였다. 이것은 낮은 도통저항을 갖는 MOSFET을 동기정류기로 사용하므로써 효율을 높이는 하나의 방법이다. 직렬공진 APWM DC/DC 변환기의 상세한 회로해석과 장단점은 참고문헌에 준한다[1][2].

III. 실험결과

본 논문에 제안한 직렬공진 APWM AC/DC 변환기의 이론적 해석과 성능을 입증하기 위해 다음과 같은 회로정수를 적용하여 실험하였다.

$$v_s = 212V_{(rms)}, \quad V_O = 13V, \quad L_f = 1mH, \quad C_f = 0.1\mu F, \quad L_r = 260\mu H, \quad C_r = 18nF, \\ L_s = 200\mu H, \quad C_s = 47nF, \quad N_p = 30turns, \quad N_s = 4turns, \quad C_d = 100\mu F, \quad C_o = 3300\mu F, \\ D_{(max)} = 0.48, \quad f_s = 100kHz \quad (\text{스위칭 주파수})$$

실험결과로써 입력전압 v_s , 입력전류 i_s , 출력전압 V_O 에 대한 파형을 그림7에 나타내었다. 최대 부하일 경우 제안한 변환기에 적용한 PFC 단은 항상 Region-A에서 단위 역률로

동작한다. 본 변환기는 70W 부하에서 역률 0.999, 효율 88.9%, 52W 부하에서 역률 0.994, 효율 88%, 35W 부하에서 역률 0.994, 효율 88.3%, 17W 부하에서 역률 0.991, 효율 85.1%의 고역률, 고효율로 동작함을 확인하였다.

커패시터 전압 v_{C_1} 을 그림8에 나타내었다. 최대 부하에서 본 PFC는 항상 Region -A에서 동작하므로 커패시터 전압 v_{C_1} 의 오프셋 전압 V_1 은 영이 되고, 부하가 감소함에 따라 오프셋 전압 V_1 은 점점 증가함을 알 수 있다. PFC의 동작파형을 그림9에 나타내었다. PFC가 Region -A에서 동작할 경우에는 커패시터 전압 v_{C_1} 의 오프셋 전압 V_1 은 0이고, 프리휠링 시간 t_f 이 존재한다. PFC가 Region -B에서 동작할 경우, PFC에는 커패시터 전압 v_{C_1} 의 오프셋 전압 V_1 이 존재하고, 프리휠링 시간 t_f 이 존재하지 않는다.

IV. 결론

제안한 변환기의 타당성을 입증하기 위해 동작 영역별로 상세하게 회로를 해석하였고, 스위칭 주파수 100 kHz, 출력 70W의 변환기 실험을 통해 성능을 입증하였다. 즉, Region -A, Region-B 전 동작영역에서 역률 0.99 이상, 효율 85% 이상으로 고역률, 고효율이 실현됨을 확인하였다.

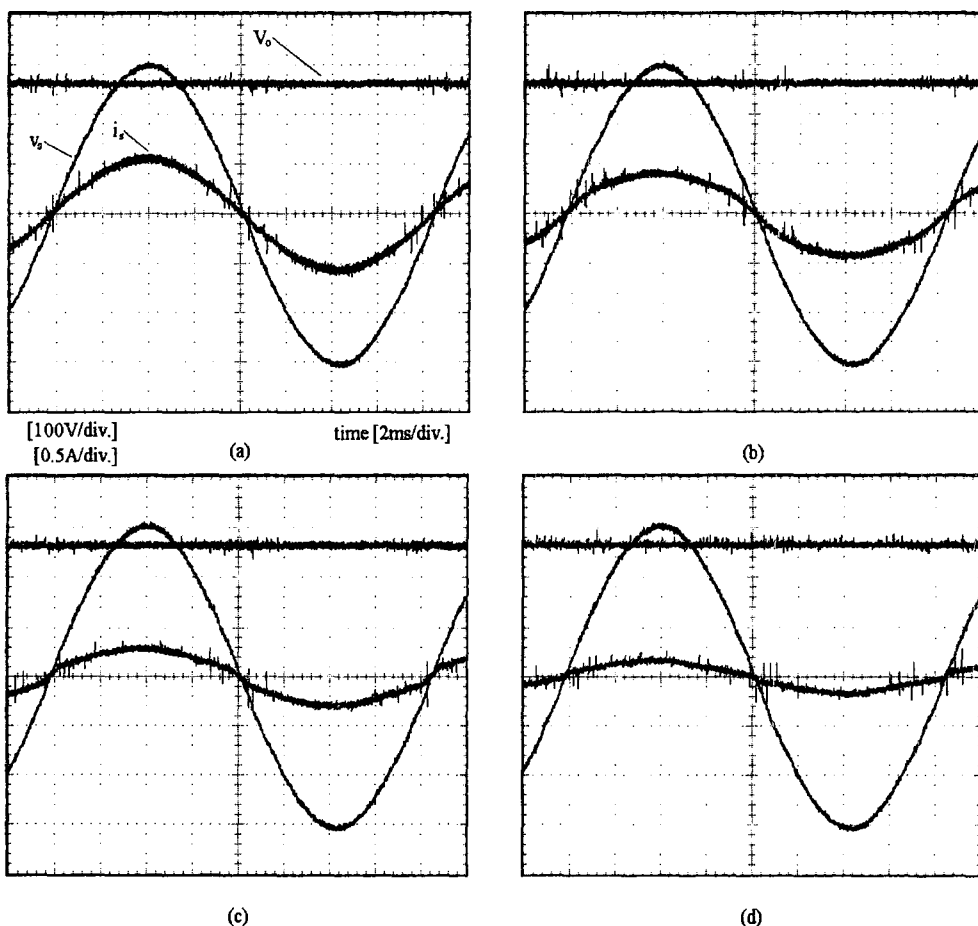
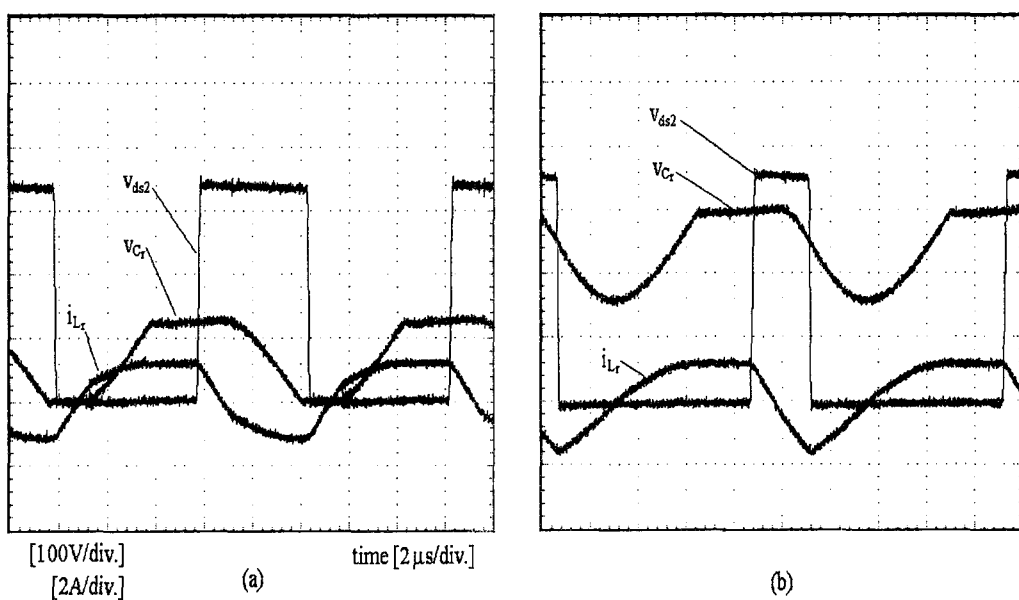
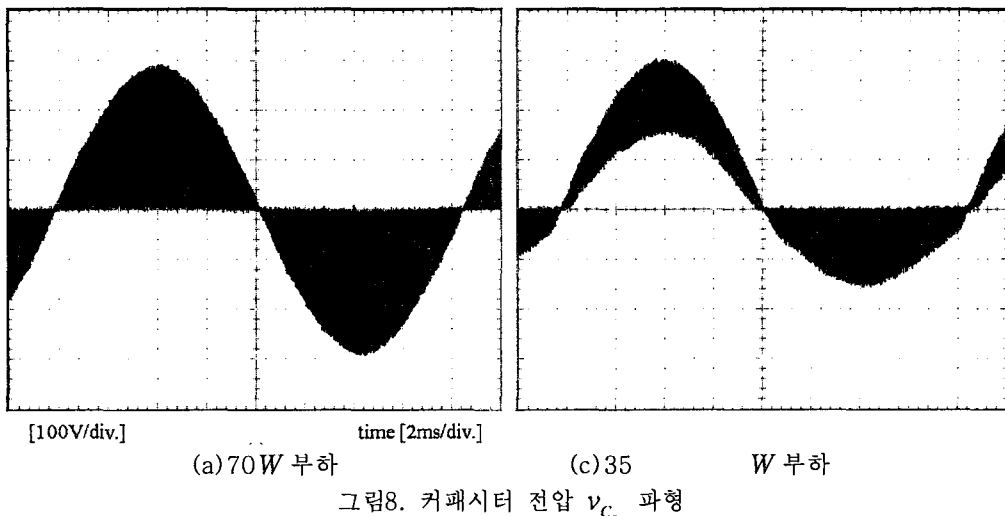


그림7. 입력전압 v_s , 입력전류 i_s , 출력전압 V_o 의 실험 파형
(a) 70W 부하 (b) 52W 부하 (c) 35W 부하 (d) 17W 부하



참고문헌

1. Moschopoulos, G., and Jain, P. K : “ A series -resonant dc/dc converter with asymmetrical PWM and synchronous rectification ” , Proceedings of IEEE -PESC, pp.1522-1527 (2000)
2. Jain, P.K., St-Martin, A., and Edwards, G. : “ Asymmetrical pulse-width-modulated resonant dc/dc converter topologies ” , IEEE Trans PE-11, pp.413-422(1996)